

## اثر نسبت هم ارزی و زاویه واگرایی بر تشکیل آلاینده $\text{NO}_X$ در مسیرهای همگرا- واگرا

دانشجوی دکتری، دانشگاه فردوسی مشهد، دانشکده مهندسی

مریم امیری\*

استاد، دانشگاه فردوسی مشهد، دانشکده مهندسی

محمد مقیمان

### چکیده

در این مقاله، جریان آشفته احتراقی در مجرای همگرا- واگرا و همچنین مدل سازی آلاینده  $\text{NO}_X$  به روش عددی تفاضل محدود مورد مطالعه قرار گرفته و با نتایج آزمایشگاهی مقایسه شده است. همچنین در این مقاله اثر نسبت هم ارزی و زاویه واگرایی بر تشکیل آلاینده  $\text{NO}_X$  در مجرای همگرا- واگرا مورد بررسی قرار گرفته است. نتایج به دست آمده اثر مهیه زاویه واگرایی حدی را بر ضریب بازیافت فشار نشان می دهد. به دلیل وابستگی شدید آلاینده  $\text{NO}_X$  به دمای بیشینه، با افزایش دما، میزان آلاینده  $\text{NO}_X$  نیز افزایش می یابد. همچنین با افزایش نسبت هم ارزی، دمای بیشینه افزایش و به دنبال آن میزان آلاینده  $\text{NO}_X$  نیز افزایش می یابد.

واژه های کلیدی: احتراق، مجرای همگرا- واگرا، زاویه واگرایی، نسبت هم ارزی،  $\text{NO}_X$ .

## Effects of Equivalence Ratio and Diverging Angle on Formation of $\text{NO}_X$ in Converging and Diverging Ducts

M. Amiri

Ph. D. Student, Ferdowsi University of Mashhad, Deptment of Mechanical Engineering

M. Moghiman

Professor, Ferdowsi University of Mashhad, Deptment of Mechanical Engineering

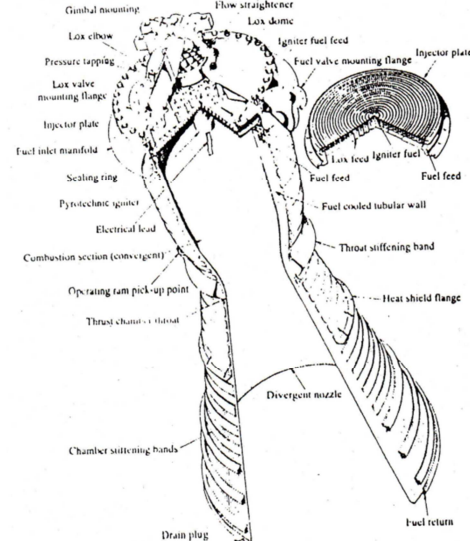
### Abstract

The present paper develops a numerical procedure (finite difference) for the calculation of turbulent combustive flows and simulation of production of  $\text{NO}_X$  pollutants in converging and diverging ducts. Also this paper reports the results of a numerical investigation of the effects of the equivalence ratio and diverging angle on  $\text{NO}_X$  emissions. Our results indicate the important influence of the limiting diverging angle of diffuser on the coefficient of pressure recovery. Moreover, due to its intense dependence on the maximum temperature in the domain, the  $\text{NO}_X$  pollutant amount attained also maximum level. By increasing the equivalence ratio, maximum temperature and also  $\text{NO}_X$  pollutant increase.

**Keywords:** Combustion, Converging and Diverging Duct, Diverging Angle, Equivalence Ratio,  $\text{NO}_X$ .

## ۱- مقدمه

از دیر باز تا کنون بشر برای تامین انرژی مورد نیاز خود و تبدیل آن به صورت های دیگر فعالیت های زیادی انجام داده است. در همین راستا به جمع آوری دانش در این زمینه و تحقیقات درباره تولید انرژی پرداخته است. تکامل تحقیقات باعث پیدایش روش های نوینی در این زمینه شده، که یکی از مهمترین آنها تولید توربین های گازی می باشد که قابلیت تبدیل انرژی سوخت به دیگر انرژی های مفید از قبیل انرژی مکانیکی، انرژی الکتریکی و یا نیروهای پیش بردگی، که از انرژی جنبشی جت به دست می آید، و غیره ... را دارا است. اساس کار همه انواع توربین های گازی یکسان است. در این موتورها سوخت به درون هوای فشرده پاشیده می شود و در فشار بالا می سوزد. گازهای سوخته شده که دارای دما و فشار بالایی است منبع انرژی را فراهم می سازد. در توربین های گازی زمینی همه این گاز برای چرخاندن پره های توربین به کار می رود و در موتورهای جت و توربین های گاز هوایی این گازها به صورت نیروی پیش بردنه مورد استفاده قرار می گیرد. تکنولوژی ساخت و طراحی توربین های گاز کاری بسیار پیچیده و طاقت فرسا می باشد. شرکت های مختلفی در این زمینه فعالیت دارند که دو شرکت جنرال الکتریک و رویزیس معتبر ترین آن هاست. شکل ۱ نمونه ای از کاربردهای توربین گاز در سیستم های هوایی است که توسط شرکت رویز طراحی و ساخته شده است را نشان می دهد.



شکل ۱- کاربرد توربین گاز در سیستم های هوایی

ضرورت کاهش سرعت و جلوگیری از افت فشار در بسیاری از جریان های داخلی منجر به استفاده از انواع مختلف دیفیویزor شده است [۱]. در توربین گاز، که در واقع یک موتور حرارتی است، دیفیویزor نقش مهمی در تبدیل انرژی جنبشی به فشار

بازی کند. آیروдинامیک دیفیویزor نیز نقش مهمی در کنترل توزیع جریان جرم، پایداری سیستم محفظه احتراق و کاهش افت فشار توربین گاز، ایفا می کند [۲]. هوای ورودی به موتور هوایپیما از طریق کاتالی به شکل دیفیویزor با عدد ماخ ۰,۴ یا کمتر تامین می شود و در شرایط پرواژی منجر به افزایش فشار می شود [۳]. در این موتورها، افت فشار کم و یکنواختی جریان برای جلوگیری از ارتعاشات اهمیت زیادی دارند. در جریان لایه مرزی در داخل یک دیفیویزor با دیوارهای صاف، زاویه واگرایی دارای اهمیت قابل توجه است. اگر این زاویه بسیار کوچک باشد، طول دیفیویزor زیاد و تلفات اصطکاک نیز افزایش می باید و بزرگ شدن بیش از حد از این زاویه منجر به جدایی لایه مرزی و تولید چرخش و در نتیجه از دست دادن قدرت موتور می شود. با این حال زاویه واگرایی، با توجه به ویژگی های جریان انتخاب و نیم زاویه ای نایاب بزرگتر از ۱۰ باشد [۴-۵]. جریان با زاویه واگرایی مناسب شبیه به جریان لایه مرزی است و معادلات آن را می توان با استفاده از روش گام به گام حل کرد. این روش دارای مزایای قابل توجهی نسبت به دیگر روش های محاسبه از نظر سرعت محاسبات و حجم حافظه مورد نیاز دارد [۶-۷]. در شبیه سازی عددی، جریان در داخل دیفیویزor، انطباق شبکه به میدان حل و افزایش تراکم آن در مجاورت دیوار جامد در دقت و صحت نتایج خروجی نقش بسیار مهمی را بازی کند [۷]. یکی از روش هایی که برای انطباق شبکه محاسباتی به میدان حل به کار گرفته می شود، استفاده از دستگاه مختصات فون میزز است که در آن خطوط جریان به عنوان یکی از مختصات مستقل انتخاب می شوند [۸].

احتراق قدیمی ترین فن آوری بشر است. در حال حاضر حدود نود درصد انرژی جهان، مانند حمل و نقل، گرمایش و بوسیله احتراق تامین می شود. با وجود پژوهش های روزافزون برای دستیابی به انرژی های جایگزین، شکی نیست که در آینده نیز احتراق همچنان مهم خواهد ماند. با افزایش دائمی احتراق سوخت های هیدروکربنی، بخش مهمی از محصولات احتراق به عنوان یک منبع مضر برای محیط زیست شناخته می شوند. گروه مهمی از سوخت ها که در تولید انرژی استفاده وسیع دارند، سوخت های مایع می باشند. احتراق این سوخت ها با گرم شدن و تبخیر سوخت و جریان اختلاط آن با هوا و سپس مشتعل شدن آن همراه بوده و اغلب با تشکیل  $\text{NO}_x$  همراه می باشد.  $\text{NO}_x$  از آلاینده های مضر حاصل از احتراق است. در گذشته برای مطالعه احتراق در توربین های گازی از نتایج تجربی استفاده می شده است. اما با توجه به زمان بری و هزینه بالای آزمایشات از طرف دیگر، طراحان همواره مایل به استفاده وسیعتر از روش های عددی و محاسباتی بوده اند. با استفاده از

## ۲- معادلات حاکم و انتخاب دستگاه مختصات

معادلات پایستاری ممنوط، انرژی و گونه‌ها شیمیایی در سیستم مختصات  $\psi \sim x$  به صورت زیر می‌باشند، که  $\psi$  تابع جریان است. انتخاب  $\psi$  به عنوان یکی از پارامترها باعث می‌شود که خود به خود معادله پایستاری جرم ارضاء شود و عملانیازی به حل این معادله نیست، این یکی از مزایای انتخاب  $\psi$  می‌باشد که از نظر اقتصادی مقرون به صرفه و از نظر زمانی بسیار مفید است [۸].

$$\frac{\partial U}{\partial x} = \frac{\partial}{\partial \psi} \left( r^2 \rho U \mu_{eff} \frac{\partial U}{\partial \psi} \right) + \frac{1}{\rho U} \left( F_x - \frac{\partial P}{\partial x} \right) \quad (1)$$

$$\begin{aligned} \frac{\partial \tilde{h}}{\partial x} &= \frac{\partial}{\partial \psi} \left( \frac{\partial}{\partial \psi} \left( r^2 \rho U \Gamma_{h,eff} \frac{\partial \tilde{h}}{\partial \psi} \right) \right) \\ &\quad + \frac{\partial}{\partial \psi} \left[ \left( \mu_{eff} \right. \right. \\ &\quad \left. \left. - \Gamma_{h,eff} \right) r^2 \rho U \frac{\partial (U^2/2)}{\partial \psi} \right] \end{aligned} \quad (2)$$

$$\frac{\partial m_j}{\partial x} = \frac{\partial}{\partial \psi} \left( r^2 \rho U \Gamma_{j,eff} \frac{\partial m_j}{\partial \psi} \right) + \frac{R_j}{\rho U} \quad (3)$$

معادلات بالا را می‌توان به شکل کلی زیر نوشت:

$$\frac{\partial \emptyset}{\partial x} + (a + b\omega) \frac{\partial \emptyset}{\partial \omega} = \frac{\partial}{\partial \omega} \left( c \frac{\partial \emptyset}{\partial \omega} \right) + d \quad (4)$$

که ضرایب  $a, b, c, d$  عبارتند از:

$$a = \frac{r_I \dot{m}_I''}{(\psi_E - \psi_I)} \quad (5)$$

$$b = \frac{(r_E \dot{m}_E'' - r_I \dot{m}_I'')}{(\psi_E - \psi_I)} \quad (6)$$

$$c = \frac{r^2 \rho U \Gamma_{eff}}{(\psi_E - \psi_I)^2} \quad (7)$$

$$d = \frac{1}{\rho U} S_0 \quad (8)$$

ضرایب  $a$  و  $b$  دارای بعد  $L^{-1}$  است و  $S_0$  نیز آهنگ تولید ویژگی  $\emptyset$  می‌باشد. به جای به کار بردن تابع جریان به عنوان یکی از مختصات، از کمیت بدون بعد تابع جریان استفاده می‌شود. این کمیت به صورت  $\frac{\psi_E - \psi_I}{\psi_E - \psi_I}$  نشان داده می‌شود [۲۲]. اثرات آشفتگی نیز با طول اختلاط پرانتل مدل شده است. انرژی حاصل از احتراق با استفاده از یک واکنش کلی، برگشت ناپذیر و یک مرحله‌ای بین بخار سوخت و کسیزن تایین شده است. آهنگ‌های واکنشی که در جمله چشممه معادله بقاء گونه‌های شیمیایی نشان داده شده بوسیله عبارتفرضیه شکست

این روش‌ها براحتی می‌توان پارامترهای گوناگون طراحی از قبیل هندسه، دبی، نوع سوخت و نسبت همارزی... را تغییر داد. ملتون و همکاران، اثر نسبت همارزی را بر شعله‌های دیفیوژن اتان آزمایش نمودند [۹]. بارلو و کارترا، اثر دما و کسر جرمی بر آلانیند  $NO_X$  در شعله‌های هیدروژن به طریق آزمایشگاهی مورد بررسی قرار دادند [۱۰]. مونیر و همکاران، آلانیند  $NO_X$  را در شعله‌های آشفته پیش آمیخته متان با اعمال نوسانات مکانیسم‌های  $NO_X$  برای پیش بینی دقیق تر و بررسی خروجی  $NO_X$  متمرکز شده اند که شامل مکانیسم‌های لی-ولیامز [۱۳]، مکانیسم وارناتر-کلاس [۱۴]، مکانیسم لیدز [۱۵]... می‌باشند. رورتویت و همکاران، اثر رقیق کننده‌ها مثل  $NO_2$ ,  $CO_2$  و  $He$  بر تشکیل  $NO_X$  در شعله‌های هیدروژن مورد بررسی قرار دادن و به این نتیجه رسیدند که شعله‌هایی که با  $CO_2$  و  $He$  رقیق شده اند، نسبت به  $NO_2$  کمتری  $NO_X$  تولید می‌کنند [۱۶]. چودوری و همکاران، اثر استفاده از سوخت‌های ترکیبی هیدروژن-هیدروکربن در شعله‌های جت آشفته مورد بررسی قرار دادند [۱۷]. سوبرمونی و همکاران، اثر پیش آمیخته کردن سوخت هلیوم با کسر جرمی‌های مختلف و همچنین اثر نسبت همارزی بر تشکیل  $NO_X$  بررسی نموده‌اند [۱۸]. هاشمی و همکاران اثر آشفتگی هوای ورودی بر آلانیند  $NO_X$  و توزیع دما در شعله پخشی متان - هوا در یک هندسه با یک انبساط ناگهانی را بررسی کردند و نشان دادند که افزایش شدت آشفتگی جریان ورودی به طور قابل ملاحظه آلانیند  $NO_X$  را کاهش می‌دهد [۱۹]. مارکوس و همکاران به صورت آزمایشگاهی به بررسی عدد چرخش و نسبت همارزی بر تشکیل آلانیند ناکس در یک کوره پرداختند و نشان دادند که افزایش عدد چرخش و کاهش نسبت همارزی به ترتیب منجر به کاهش٪ ۳۱ و٪ ۳۳  $NO_X$  می‌شود [۲۰]. بولات و همکاران تشکیل آلانیندها در محفظه احتراق توربین گاز صنعتی را با استفاده از مدل توربولانسی شبیه‌سازی گردابه‌های بزرگ (LES) را بررسی کردند و آهنگ تشکیل  $NO_X$  را به صورت  $NO$  فوری و حرارتی تعیین کردند [۲۱]. هدف از این مقاله توسعه یک روش عددی برای اندازه گیری جریان سهموی داخل و خارج مجاری همگرا- و اگرا در وضعیت احتراقی و همچنین شبیه‌سازی عددی آلانیند  $NO_X$  است. اثر پارامترهای مهم از قبیل زاویه و اگرایی و نسبت هم ارزی بر آلانیند  $NO_X$  نیز مطالعه شده است.

$$R_{f1} = 1.8 * 10^8 * EXP\left(\frac{-38370}{T}\right) \quad (14)$$

$$R_{f2} = 1.8 * 10^4 * T * EXP\left(\frac{-4680}{T}\right) \quad (15)$$

$$R_{r1} = 3.8 * 10^7 * EXP\left(\frac{-425}{T}\right) \quad (16)$$

$$R_{r2} = 3.8 * 10^3 * T * EXP\left(\frac{-20820}{T}\right) \quad (17)$$

آهنگ تشکیل NO توسط رابطه زیر بیان شده است [۲۶]:

$$\frac{d[NO]}{dt} = \frac{2[O]\{R_{f1}R_{f2}[O_2][N_2] - R_{r1}R_{r2}[NO]^2\}}{R_{f2}[O_2] + R_{r1}[NO]} \quad (18)$$

در حالت پایدار  $\frac{d[NO]}{dt}$  برابر صفر می‌باشد. معادله فوق شدت ایجاد NO را بیان می‌کند که در روابط تفاضل محدود استفاده می‌شود.

غلهظت اتم نیتروژن توسط رابطه زیر بیان شده است:

$$[N] = [O] \frac{R_{f1}[N_2] + R_{r2}[NO]}{R_{r1}[NO] + R_{f2}[O_2]} \quad (19)$$

غلهظت اتم اکسیژن طبق نظر [۳۰] عبارتند از:

$$[O] = 36.64 * T^{1/2} * [O_2]^{1/2} EXP\left(\frac{-27123}{T}\right) \quad (20)$$

به منظور پیش بینی مقدار NO در مقاله حاضر، مدل زلدوبویج انتخاب شده است. از نکات مثبت مکانیزم زلدوبویج این است که برای یافتن غلهظت NO احتیاج است که فقط یک معادله دیفرانسیل با مشتقهای جزئی اضافی حل شود و هر چند که باید چند رابطه جبری جنبی را برای حل آن در نظر گرفت. بنابراین با توجه به این که این مدل به حجم نسبتاً کمی از حافظه کامپیوتر احتیاج دارد، لذا مدل فوق مقرنون به صرفه بوده و همین امر عامل مهمی در انتخاب این ساز و کار برای مدل‌سازی NO تولید شده می‌باشد.

#### ۴- تولید شبکه و حل معادلات دیفرانسیلی

تولید شبکه در میدان محاسباتی در مختصات  $x - z$  انجام شده است. با توجه به سهمیوی بودن ماهیت معادله ۲۱ و غالب بودن جریان و یک راهه بودن مختصه  $X$ ، می‌توان فرض کرد که جریان فقط از بالا دست اثر می‌پذیرد. از این رو در گسسته سازی معادلات از روش قدم به قدم استفاده می‌شود [۳۱]. بنابراین هر نقطه از پنج نقطه مجاور خود اثر می‌پذیرد که دو نقطه در همان مقطع و سه نقطه در مقطع بالا دست می‌باشد.

$$D_i \emptyset_{i,D} = A_i \emptyset_{i+1,D} + B_i \emptyset_{i-1,D} + E_i \emptyset_{i,U} + F_i \emptyset_{i+1,U} + G_i \emptyset_{i-1,U} + H_i \quad (21)$$

$A_i$  و  $B_i$  و  $C_i$  ضرایبی هستند که با انتگرال‌گیری از معادلات روی سلول محاسباتی به دست می‌آیند. با توجه به این که در معادله

گردابهای آهنگ آرنبیوس [۲۴] یا آهنگ آرنبیوس [۲۳] تعیین می‌گردد. این نوع مدل‌ها برای گستره وسیعی از کاربردها شامل سیستم‌های واکنشی آرام و آشفته و نیز احتراق از پیش مخلوط و یا نفوذ شعله مناسب می‌باشد. آهنگ مصرف سوخت توسط دو روش ذکر شده محاسبه شده و کمترین مقدار انتخاب می‌شود.

$$R_{fu} = -C \rho m_{fu} \left| \frac{\partial U}{\partial y} \right| \quad (9)$$

$$R_{fu} = -p P^2 m_{fu} m_{ox} \exp\left\{-\frac{E}{RT}\right\} \quad (10)$$

#### ۳- ساز و کارهای تشکیل NO<sub>x</sub>

آلودگی‌های ناشی از اکسیدهای نیتروژن، اثرات زیان باری بر سلامت انسان و محیط زیست بر جای می‌گذارند و همچنین نقش مهمی در تشکیل باران‌های اسیدی، مه، دود فتوشیمیابی و سوراخ شدن لایه ازن دارند. به مجموعه تمام اکسیدهای نیتروژن NO<sub>x</sub> گفته می‌شود که طی فرایندهای احتراقی با واکنش شیمیابی نیتروژن هوای احتراق و یا نیتروژن موجود در سوخت تشکیل می‌شود. گونه‌های آلاینده تشکیل شده به طور اهم وابسته به دما و نسبت سوخت به هوا در ناحیه احتراق هستند. تقریباً ۹۰ تا ۹۵ درصد NO<sub>x</sub> تشکیل شده در پروسه احتراق، NO و مابقی NO<sub>2</sub> است. البته با توجه به نوع شعله و سایر عوامل وابسته سهم هر یک از این گونه‌ها دریک فرایند احتراقی می‌تواند تغییر کند. به طور عمده سه ساز و کار برای تولید NO<sub>x</sub> احتراق مطرح می‌باشد: ساز و کار گرمایی، ساز و کار فوری و ساز و کار NO سوختی [۲۵-۲۶].

ساز و کار گرمایی مهمترین ساز و کاری است که تاکنون شناخته شده است. این ساز و کار برای اولین بار توسط زلدوبویج در سال ۱۹۴۶ مطرح شد. دما و غلهظت بالای اکسیژن از عوامل مهم در این ساز و کار هستند و تقریباً در اکثر فرایندهای احتراقی مطرح می‌باشد. این ساز و کار توسط دو واکنش اساسی زیر، با عنوان ساز و کار زلدوبویج بیان می‌گردد [۲۳]:



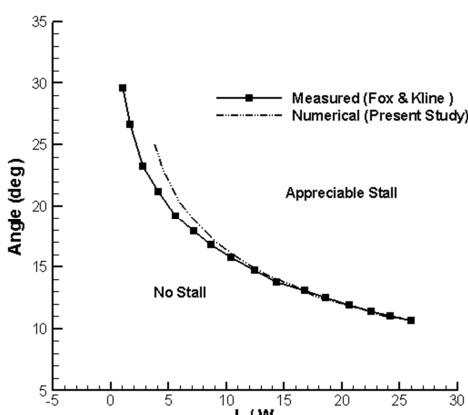
تشکیل اکسید نیتروژن از طریق مولکول نیتروژن N<sub>2</sub> نیازمند شکسته شدن پیوند قوی بین اتم‌های نیتروژن است و همین امر موجب وابستگی شدید این ساز و کار به درجه حرارت می‌گردد. به علاوه واکنش دیگری توسط لاووی و همکاران به صورت زیر ارائه شده است [۲۷]:



در این مکانیسم R<sub>f1</sub> و R<sub>f2</sub> شدت واکنش‌ها (آهنگ واکنش) به سمت جلو می‌باشند و R<sub>r1</sub> و R<sub>r2</sub> شدت واکنش‌ها در جهت عکس می‌باشند [۲۸-۲۹].

## ۶- نتایج

در این بخش اثر نسبت طول به قطر مقطع ورودی بر زاویه حدی واگرایی دیفیوزر با دیواره تخت بررسی می‌شود. زاویه واگرایی حدی عبارتست از: بزرگترین زاویه واگرایی که قبل از آن هیچگونه جدایی و جریان برگشتی در سیال بوجود نیاید. در شکل ۴ نتایج محاسبات عددی با نتایج آزمایشگاهی فاکس و کلاین [۳۲] مقایسه شده است، نمای کلی منحنی‌ها نشان می‌دهد که با افزایش نسبت طول به قطر ورودی در دیفیوزر، پدیده جدایش و جریان برگشتی در زوایای واگرایی کمتری رخ می‌دهد، از طرفی همچنین مشاهده می‌شود که در نسبت‌های بالاتر طول به قطر ورودی، منحنی‌ها انطباق بهتری بر یکدیگر دارند. خاصیت و کاربردی که منحنی فوق می‌تواند داشته باشد، استفاده از آن در طراحی دیفیوزر با دیواره تخت می‌باشد. بدین ترتیب که بسیار کوچک بودن زاویه واگرایی موجب طویل شدن طول دیفیوزر و افزایش تلفات اصطکاکی و بیش از حد بزرگ شدن زاویه مذکور باعث جدایش لایه مرزی می‌شود. منحنی شکل ۴ در واقع مرز بین ناحیه‌ای که در آن جدایش وجود دارد (ناحیه بالای منحنی) و ناحیه‌ای که در آن هرگز این پدیده بوجود نخواهد آمد (ناحیه زیر منحنی) می‌باشد. این منحنی در اصطلاح نقشه پایداری دیفیوزر خوانده می‌شود [۳۲]. در طراحی‌ها همواره سعی بر آن است که ابعاد هندسی و زاویه واگرایی دیفیوزر طوری انتخاب شود که دارای بیشترین زاویه واگرایی و کمترین نسبت طول به قطر ورودی باشد. این حالت وضعیت بهینه‌ای بین ابعاد هندسی و تلفات انرژی خواهد بود.



شکل ۴- مقایسه نتایج محاسبات عددی و آزمایشگاهی برای زوایای واگرایی حدی

فاکس و کلاین [۳۲] ضریب بازیافت فشاردر یک دیفیوزر با دیواره تخت را به صورت ایده‌آل با رابطه  $C_{PR} = 1 - (U_2/U_1)^2$  ترتیب سرعت‌های متوسط در مقاطعه ورودی و خروجی را نشان می‌دهند. در اینبخش نتایج عددی به دست آمده و نتایج شرایط

۲۱ مقدادر بالادست معلوم می‌باشد، می‌توان کلیه جملات مربوطه را با معرفی پارامتر  $C_i$  به صورت زیر مستتر کرد.

$$C_i = E_i \emptyset_{i,U} + F_i \emptyset_{i+1,U} + G_i \emptyset_{i-1,U} + H_i \quad (22)$$

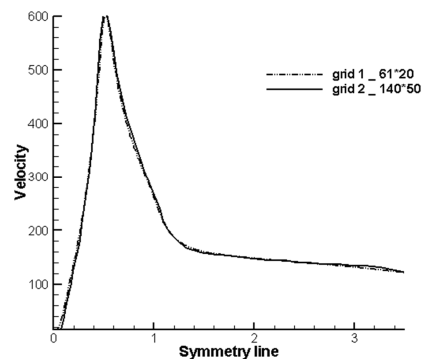
بنابراین معادله ۲۱ بر اساس مقدادر مجھول به شکل نهایی زیر نوشته می‌شود [۲۹]:

$$D_i \emptyset_{i,D} - A_i \emptyset_{i+1,D} - B_i \emptyset_{i-1,D} = C_i \quad (23)$$

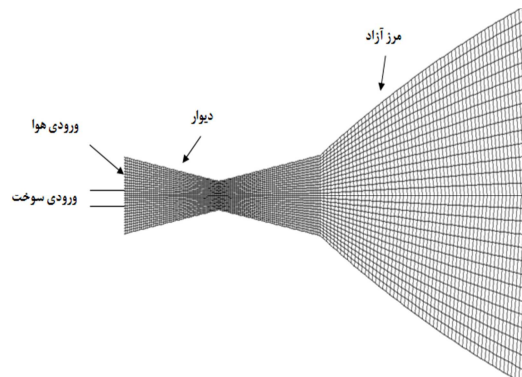
با بسط معادله ۲۳ و حل دستگاه معادلات با استفاده از الگوریتم ماتریس سه قطری (TDMA) می‌توان مقدادر  $\emptyset_2$  و  $\emptyset_3$  و ...  $\emptyset_{N-1}$  را به دست آورد.

## ۵- میدان حل و بررسی استقلال شبکه

شکل ۲ توزیع سرعت در روی خط تقارن مجرأ برای دو نمونه مختلف شبکه را نشان می‌دهد. مشاهده می‌شود که جواب‌های هر دو شبکه بر یکدیگر منطبق می‌باشد و لذا درشت ترین شبکه (شبکه اول) دقت کافی در حل میدان عددی را دارد. تمام نتایج ارائه شده مربوط به حل بر روی این شبکه می‌باشد. در شکل ۳ شبکه موردنظر به همراه حوزه محاسباتی و شرایط مرزی مسئله ارائه شده است.

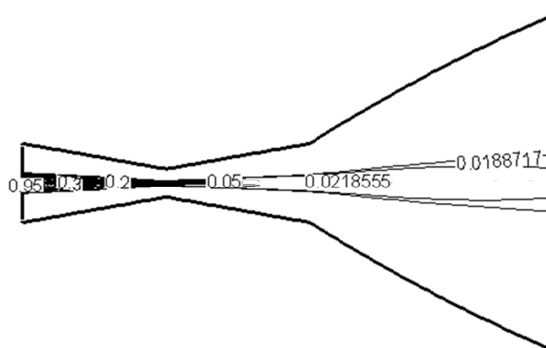


شکل ۲- بررسی عدم وابستگی نتایج به ابعاد شبکه

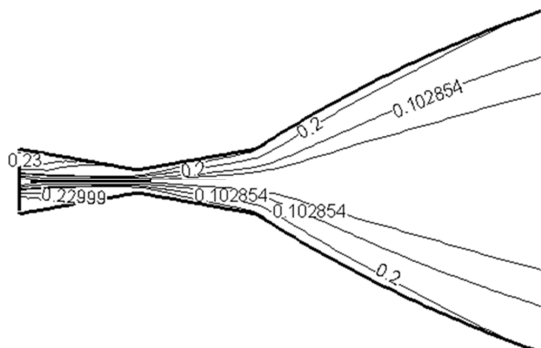


شکل ۳- شبکه بندی و حوزه محاسباتی

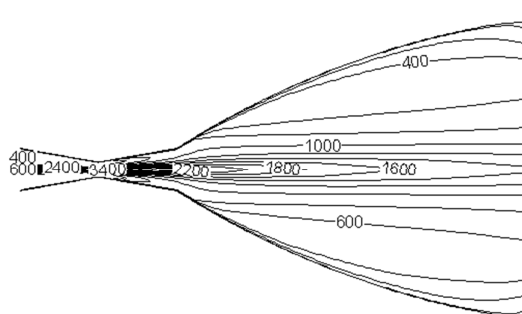
شکل‌های ۷ و ۸ کانتورهای کسر جرمی سوخت و اکسیژن در نسبت همارزی ۱ را نشان می‌دهد. ملاحظه می‌شود که اولاً مقدار کمی سوخت در نواحی خارج مجرای همگرا وجود دارد و ثانیاً در نواحی از داخل مجرای اکسیژن کافی وجود ندارد. شکل ۹ خطوط همدما را برای جریان احتراقی در مجرای همگرا\_ واگرا نشانمی‌دهد. بیشترین دما در اطراف محور تقارن یعنی در محلی که دو جریان سوخت و هوای ورودی با هم مخلوط می‌شود، به دست آمده است. مشاهده می‌شود که احتراق در مجرای همگرا به صورت بهتری انجام می‌شود و مقدار کمتری از سوخت به صورت سوخته نشده از مجرای خارج می‌شود.



شکل ۷- کانتورهای سوخت در داخل و خارج مجرای همگرا\_ واگرا در نسبت همارزی ۱

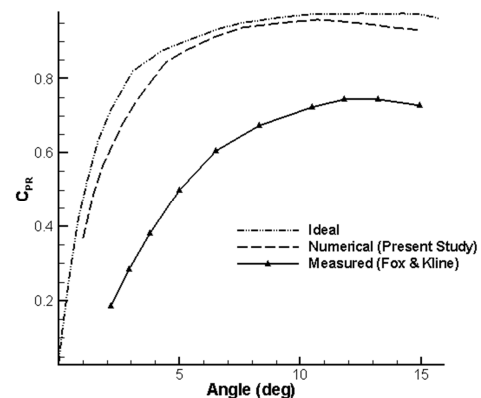


شکل ۸- کانتورهای اکسیژن در داخل و خارج مجرای همگرا\_ واگرا در نسبت همارزی ۱



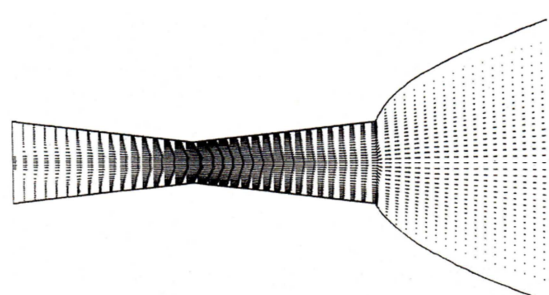
شکل ۹- خطوط همدما در داخل و خارج مجرای همگرا\_ واگرا

ایدهال برای نسبت طول به قطر ۱۰ با نتایج آزمایشگاهی فاکس و کلاین مقایسه شده است. از نمای کلی سه منحنی پیداست که با افزایش زاویه واگرایی مقدار ضریب بازیافت فشار افزایش می‌یابد. مشاهده می‌شود که نتایج حالت ایدهال و نتایج عددی بسیار نزدیک به هم بوده و مقدادر آنها کمی بیشتر از مقدادر نتایج آزمایشگاهی می‌باشد. اختلاف نتایج آزمایشگاهی با دو روش دیگر می‌تواند به علت اثرات زبری جداره دیفیوزر آزمایشگاهی که می‌تواند موجب اتفاق انرژی در سیال شود و یا به علت وجود خطای اندازه‌گیری باشد.

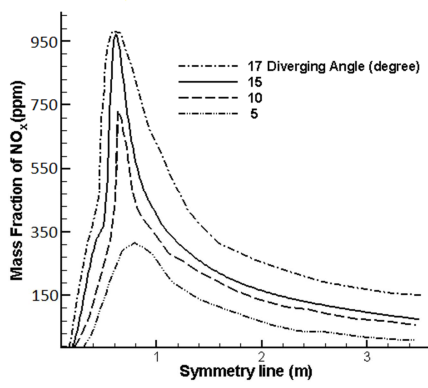


شکل ۵- مقایسه نتایج محاسبات عددی و آزمایشگاهی  $C_{PR}$  در زوایای واگرایی مختلف

در راکتها و سیستم‌های پرتتاب، نیروی پیشرانش بوسیله محفظه جلوبری که شامل بخش محفظه احتراق و دیفیوزر می‌باشد انجام می‌شود. شکل ۶ توزیع بردارهای سرعت در داخل و خارج مجرای همگرا\_ واگرا با طول واحد را نشان می‌دهد. ملاحظه می‌شود که بردارهای سرعت در محل اتصال محفظه احتراق (مجرای همگرا) با دیفیوزر دارای بیشترین مقدار می‌باشد. تقارن مطلوبی برای توزیع سرعت در داخل محفظه احتراق جلوبری و خارج از آن دیده می‌شود که می‌تواند به پایداری سیستم پرتتابی کمک کند.

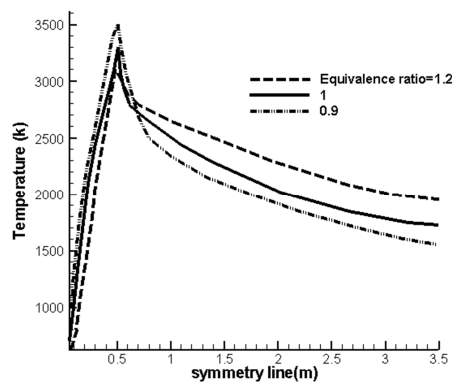


شکل ۶- توزیع بردارهای سرعت داخل و خارج مجرای همگرا\_ واگرا

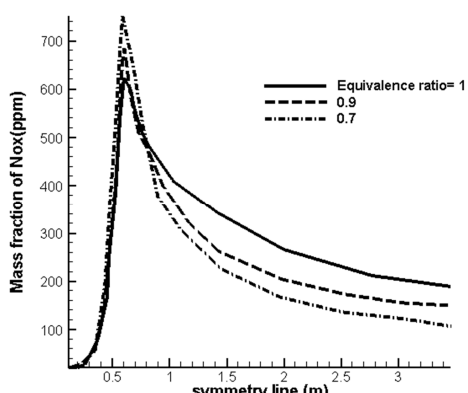


شکل ۱۲- اثر تغییر زاویه واگرایی بر کسر جرمی  $\text{NO}_X$  راستای جریان در داخل و خارج مجرای همگرا\_واگرا

در شکلهای ۱۳ و ۱۴ اثر تغییر نسبت همارزی بر دما و میزان آلاینده  $\text{NO}_X$  نشان داده شده است. واضح است با افزایش نسبت همارزی، به دلیل کامل شدن احتراق، در خروجی دما افزایش می‌یابد همچنین بدلیل وابستگی شدید آلاینده  $\text{NO}_X$  به دما، همان طور که در شکل ۱۴ مشاهده می‌گردد آلاینده  $\text{NO}_X$  نیز با افزایش دما افزایش می‌یابد. لازم بذکر است سوخت مصرفی کروسین (C<sub>12</sub>H<sub>23</sub>) می‌باشد و تغییر نسبت همارزی با تغییر دمی هوا انجام می‌شود. در نسبت همارزی ۱، مقدار دمی سوخت ۹ کیلوگرم بر ثانیه است.

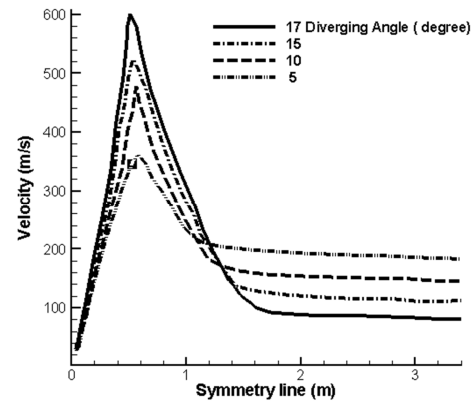


شکل ۱۳- اثر تغییر نسبت همارزی بر دما در داخل و خارج مجرای همگرا\_واگرا



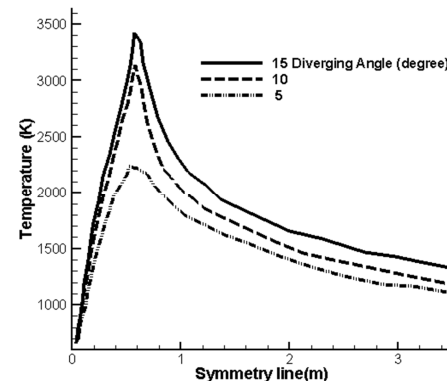
شکل ۱۴- اثر تغییر نسبت همارزی بر کسر جرمی  $\text{NO}_X$  در داخل و خارج مجرای همگرا\_واگرا

در شکل ۱۰ اثر تغییر زاویه واگرایی بر توزیع سرعت در مسیرهای همگرا\_واگرانشان داده شده است. با افزایش زاویه واگرایی دیفیوزر، به دلیل تقارن هندسی موجود بخش دیفیوزر و نازل، سرعت در راستای جریان در بخش نازل افزایش و در بخش دیفیوزر کاهش می‌یابد.



شکل ۱۰- اثر تغییر زاویه واگرایی بر سرعت در راستای جریان در داخل و خارج مجرای همگرا\_واگرا

در شکل ۱۱ تغییرات دما در داخل و خارج مجرای همگرا\_واگرا در اثر افزایش زاویه واگرایی نشان داده شده است. واضح است که با افزایش زاویه فوق آهنگ احتراق افزایش می‌یابد و در نتیجه دما نیز افزایش می‌یابد. به دلیل وابستگی شدید  $\text{NO}_X$  به دمای بیشینه، در قسمت‌هایی که دما بیشینه می‌باشد، مقدار آلاینده  $\text{NO}_X$  نیز بیشینه می‌باشد، در انتهای مجرای با کاهش دما میزان آلاینده  $\text{NO}_X$  نیز کاهش می‌یابد (شکل ۱۲).



شکل ۱۱- اثر تغییر زاویه واگرایی بر دما در راستای جریان در داخل و خارج مجرای همگرا\_واگرا

## ۶-نتیجه‌گیری

در مقاله حاضر جریان سهموی تراکم ناپذیر احتراقی با روش گام به گام مکانی در داخل و خارج مجراهای همگرا- واگرا و همچنین شبیه‌سازی آلینده‌های  $\text{NO}_X$  به روش تفاضل محدود مورد مطالعه قرار گرفته است. مقایسه نتایج عددی به دست آمده با نتایج آزمایشگاهی بیانگر انطباقی نزدیک بین آنها می‌باشد. تشخیص نوع دستگاه مختصات و سهموی بودن ماهیت جریان و استفاده از روش گام به گام مکانی، باعث کاهش قابل ملاحظه‌ای در زمان محاسبات شده است. همچنین نتایج بیانگر آن است که مدل ساده طول اختلاط توائسته است رفتار جریان را با تقریب خوبی توصیف نماید. به دلیل وابستگی شدید آلینده  $\text{NO}_X$  به دمای بیشینه ، با افزایش دما، میزان آلینده  $\text{NO}_X$  نیز افزایش می‌یابد. همچنین با افزایش نسبت هم‌ارزی، دمای بیشینه افزایش و به دنبال آن میزان آلینده  $\text{NO}_X$  نیز افزایش می‌یابد.

## نمادها

ضرایب	A,B,C,D
انرژی فعالسازی	E
کسر جرمی	$\tilde{h}$ m
آهنگ جریان جرم از مرز I	$\dot{m}_I$
آهنگ جریان جرم از مرز E	$\dot{m}_E$
فشار	P
ثابت	p
جهت شعاعی	r
آهنگ واکنش در جهت مستقیم و عکس	$R_r R_f$
عبارت چشمی	S
دما	T
سرعت	U
جهت محوری	x

## نمادهای بونانی

ضریب پخش	$\Gamma$
تابع جریان	$\Psi$
لزجت دینامیکی	$\mu$
متغیر عمومی	$\emptyset$
چگالی	$\rho$

## زیرنویس

بالادرست جریان	U
پایین درست جریان	D

- [1] Azad R. S., "Turbulent flow in conical diffuser" Experimental Thermal and Fluid Science, vol. 13, pp. 318-337, 1996.
- [2] Lefebvre A. H., "Gas Turbine Combustion", McGraw-Hill, New York, 1983.
- [3] Hill P. G., Peterson C. R., "Mechanic and Thermodynamic of Propulsion", Addison-Wesley Company, Massachusetts, 1965.
- [4] Ganeshan V., Suzuki K., Narayana P. A., Chithamaran V. K., "Investigations of mean and turbulent flow characteristics of a two dimensional plane diffuser", Experiment in Fluid, vol.10, pp. 205-212, 1991.
- [5] Olsson A., Stemme G., Stemme E., "Numerical and experimental studies of flat-walled diffuser element for valve-less micro pumps", Sensors and Actuators, vol.84, pp.165-175, 2000.
- [6] Gan G., Riffat, S. B., "Measurement and computational fluid dynamics prediction of pressure-loss coefficient", Applied Energy, Vol. 54, pp.181-195, 1996.
- [7] Sky W., "A numerical study of dump diffuser flow", Computer Method in Applied Mechanic and Engineering, vol. 53, pp. 47-65, 1985.
- [8] Feletchers C. A. J., "Computation Techniques for Fluid Dynamics", 1988.
- [9] Melton T. R., Inal F., Senkan S. M., "Effect of Equivalence Ratio on the Formation of Polycyclic Aromatic Hydrocarbons and Soot in Premixed Ethane Flames", Combustion and Flame, pp. 671-678, 2000.
- [10] Barlow R. S., Carter C. D., "Relationships among nitric oxide, temperature and mixture fraction in hydrogen jet flames", Combust and Flame, vol.104, pp.288-299, 1996.
- [11] Meunier Ph., Costa M., Carvalho M. G., "On NOx emissions from turbulent propane diffusion flames", Combustion and Flame, vol.112, pp. 221-230, 1998.
- [12] Poppe C., Sivasegaram S., Whitelaw J. H., "Control of NOx emissions in confined flames by oscillations", Combust and Flame, vol.113, pp.13-26, 1998.
- [13] Li S. C., Williams F. A., "NOx formation in two-stage-methane-air flames", Combust and Flame, vol.118, pp.399-414, 1999.
- [14] Warnats J., Klaus P., "CEC reaction mechanism for methane/air combustion", <http://www.ca.sandia.gov/tdf/3rdworkshop/chemmech/JW-C2NO98.mec.html>.
- [15] Leeds NOx Mechanism, <http://www.chem.leeds.ac.uk/combustion/nox.html>.
- [16] Rortveit G. J, Hustad J. E., Li S. C., Williams F. A., "Effects of diluents on NOx formation in hydrogen counter flow flames", Combust and Flame, Vol.130, pp.48-61, 2002.
- [17] Choudhuri A. R., Gollahalli S. R., "Characteristics of hydrogen-hydrocarbon

- [32] Fox R. W., Kline S. J., "Flow regime data and design method for curved subsonic diffusers", ASME Journal of Basic Engineering, vol. 84, pp.303-312, 1962.
- [18] Subramani A., Ambedkar B., Sarat Chandra B., "Numerical simulation of diluent effect on NOx emission in a turbulent premixed methane flames", International Journal on Applied Bioengineering, vol. 2, pp.1-9, 2008.
- [19] Hashemi S. A., Fattah A., Sheikhzade G. A., Hajaligoli N., Nikfar M., "Numerical investigation of NOx reduction in a sudden expansion combustor with inclined turbulent air jet", Journal of Mechanical Science and Technology, vol. 26, pp.3723-3731, 2012.
- [20] Marcos R. M., Fabio L. F., Everton F. Z., Waldir A. B., "Influence of swirl number and fuel equivalence ratio on NO emission in an experimental LPG-fired chamber", Applied Thermal Engineering, vol. 30, pp. 928-934, 2010.
- [21] Bulat G., Jones W. P., Marquis A. J., "NO and CO formation in an industrial gas-turbine combustion chamber using LES with the Eulerian sub-grid PDF method", Combustion and Flame, vol. 161, pp.1804-1825, 2014.
- [22] Launder B. E., Shima N., "Second-moment closure for the wall sub layer, development and application", AIAA, vol. 27, pp. 1319-1325, 1989.
- [23] Magnussen B. F., "Modeling of pollutant formation in gas turbine combustors based on the eddy dissipation concept", 18th International Congress on Combustion Engines, International Council on Combustion Engines, Tianjin, China. 1989.
- [24] Glassman I., "Combustion", Academic Press, 1996.
- [25] Beltram A., Porshnev P., Merchan M. W., Saveliev A., Fridman A., Kennedy L. A., Petrova O., Zhdnok S., Amouri F., Charon O., "Soot and NO formation in methane-oxygen enriched diffusion flames", Combustion and Flame, vol. 124, pp. 295-310, 2001.
- [26] ANSYS FLUENT 14.5, User's Guide, 2014.
- [27] Lavoie G. A., Heywood J. B., Keck J. C., "Experimental and theoretical investigation of nitric oxide formation in internal combustion engines", Combustion Science Technology, pp. 313-326, 1970.
- [28] Soete G. G. D., "Fundamental chemistry of NOx and N<sub>2</sub>O formation and destruction", Lecture 6, Third Flame Research Course, IFRF, the Netherlands. 1990.
- [29] Hanson R. K., Salimian S. "Survey of rate constants in H/N/O system", Combustion Chemistry. 1984.
- [30] Warnatz J., Mass U., Dibble R. W., "Combustion, physical and chemical fundamentals, modeling and simulation, experiments, pollutant formation", 4th Edition, Springer. 2006.
- [31] Spalding D. B., "GENMIX- a general computer program for two-dimensional parabolic phenomena", Pergamon, New York. 1977.